# Place de l'imagerie dans le diagnostic des démences



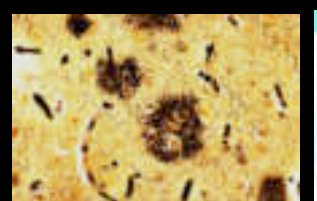
Pierre Krolak-Salmon

Centre de Mémoire, de Ressource et de Recherche de Lyon



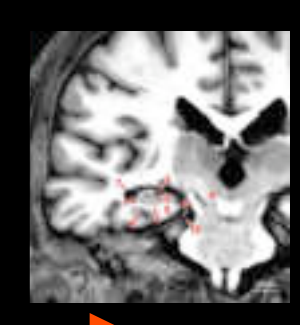








#### Maladie d'Alzheimer

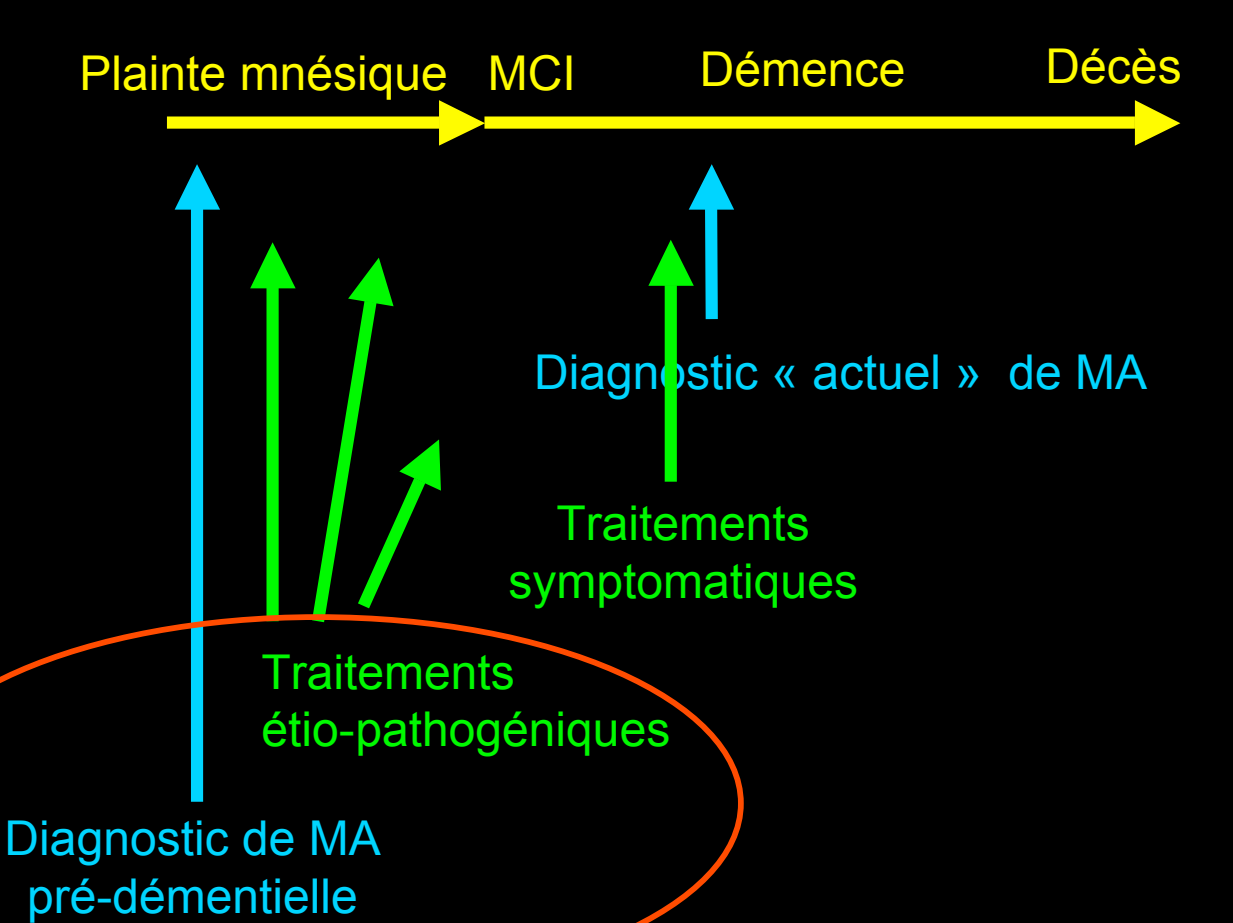


Lésions protéiques

Lésions

Perte neuronale

Clinique



#### Critères diagnostiques révisés de maladie à corps de Lewy Mc Keith et al, 2005

• Démence attention, F.exécutives et visuo-spatiales, ± amnésie

#### Signes cardinaux

- Fluctuations
- Hallucinations visuelles
- Syndrome parkinsonien

#### Signes suggestifs

- Troubles du sommeil (REM)
- Hypersensibilité aux neuroleptiques
- Anomalies transporteur de la dopamine (Dat-Scan)

#### Signes évocateurs

- Pertes de connaissance
- Syndrome dysautonomique
- Autres hallucinations, délire
- Dépression
- Préservation relative lobe temporal médian à l'IRM
- Hypodébit occipital
- Scintigraphie myocardique anormale (MIBG)
- Ondes lentes et pointes temporales

#### **DEMENCE FRONTO-TEMPORALE**

#### I Critères principaux

- A Début insidieux et évolution progressive
- B Inadaptation sociale précoce
- C -Troubles précoces du comportement
- D Emoussement émotionnel précoce
- E Perte d'intérêt précoce

#### Il Critères diagnostiques accessoires

#### A – Troubles du comportement

Négligence corporelle

Réduction de la flexibilité mentale

Distractibilité

Hyperoralité et troubles du comportement alimentaire

Persévérations et stéréotypies

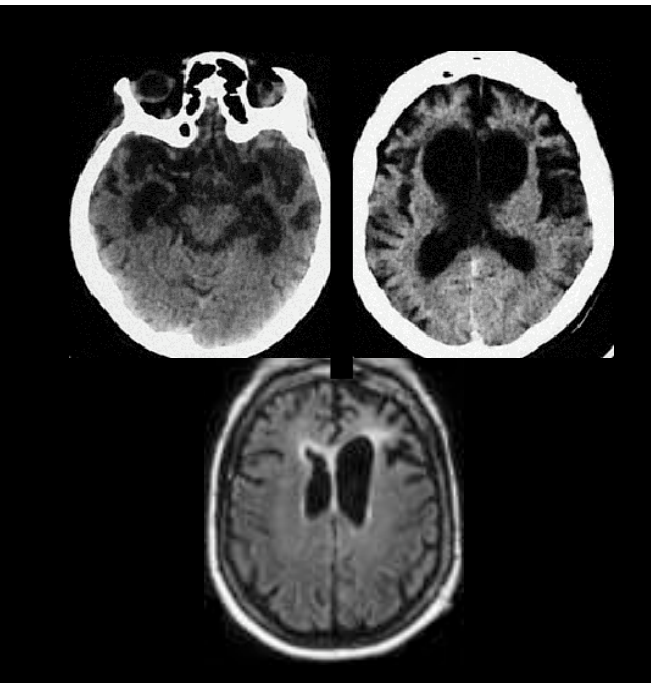
Comportement d'utilisation

#### **B** – Parole et langage

Troubles de la parole : aspontanéïté, réduction de la fluence verbale, irrégularité de la parole Stéréotypies langagières

Echolalie, Persévérations

Mutisme



Neary et al., Neurology, 1998

#### Diagnostic différentiel DCL/MA

20 patients avec démence DAT-scan + autopsie

Walker et al. JNNP 2007

Anapath → 8 DCL

9 MA

Clinique → Sensibilité : 75%

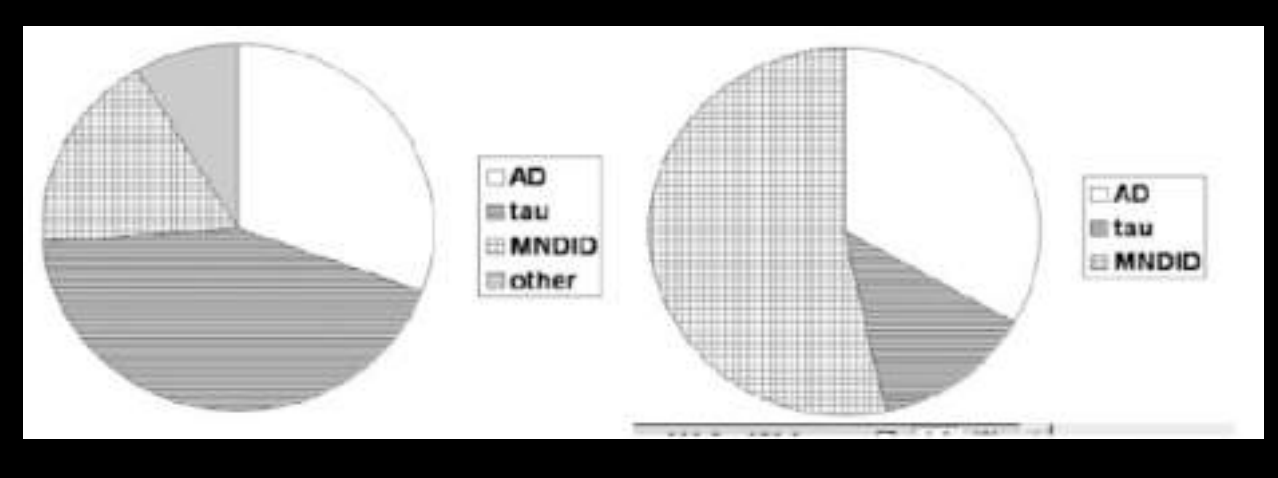
Spécificité: 42%

#### Clinical and Pathological Characterization of Progressive Aphasia

Jonathan A. Knibb, MRCP, John H. Xuereb, MD, Karalyn Patterson, FMedSci, and John R. Hodges, FMedSci, Ann Neurol 2006;59:156–165

#### Non fluente

#### **Fluente**



# Démences et syndromes parkinsoniens atypiques



#### Paralysie Supranucléaire Progressive

Corticobasal ganglionic degeneration

Alien limb syndrome

Severe limb apraxia (inability to use correctly mimed objects, or perform symbolic gestures on command)

Cortical sensory deficits

Markedly asymmetric onset of bradykinesia

Focal frontal or temporoparietal atrophy

Parkinson's disease

Asymmetric onset of bradykinesia symptoms

Tremor-dominant disease

Marked and prolonged levodopa benefit

Dementia with Lewy bodies

Hallucinations or delusions unrelated to dopaminergic therapy

Cortical dementia, especially aphasia

Alzheimer's disease

Cortical dementia (severe amnesia and aphasia, or agnosia, NINCDS-ADRDA criteria)

Multiple system atrophy

Prominent cerebellar symptomatology or unexplained early and prominent incontinence, impotence, or marked postural hypotension\*

Multiinfarct parkinsonism

Multiple strokes, one of which involves the brainstem and basal ganglia <u>iques</u>

ensible

rextension du cou (rétrocolie)

ard

us-cortico-frontal

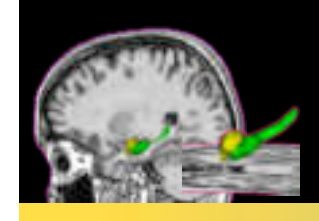
ritère NINDS-SPSP, Litvan et al , 1996

#### Institute of Neurology, Londres

#### 60 cas consécutifs de PSP diagnostiqués cliniquement

	First clinic visit		Last clinic visit	
	Sensitivity (95% CI)	PPV (95% CI)	Sensitivity (95% CI)	PPV (95% CI
Clinical diagnosis	17 (9-30)	89 (57-98)	100 (92-100)	78 (66–87)
Falls	56400000000000			
NINDS-SPSP falls	36 (24-51)	77 (57-90)	36 (24-51)	77 (57-90)
Down gaze abnormality-Lees	19 (10-33)	100 (70-100)	70 (56-81)	85 (70-93)
Axial rigidity	15 (7-28)	88 (53-98)	49 (35-63)	79 (62-90)
Pseudobulbar palsy	40 (28-55)	76 (57-89)	91 (80-97)	78 (66-87)
Frontal lobe signs-Lees	2 (0-11)	100 (21-100)	30 (19-44)	67 (45-83)
Frontal lobe signs-Tolosa	0	0/0	6 (2-17)	100 (44-100)
Pyramidal signs	9 (3-20)	57 (25-84)	26 (15-40)	75 (51-90)
Bradykinesia	74 (61-85)	78 (64-88)	100 (92-100)	80 (68-87)
Rigidity	74 (61-85)	78 (64-88)	100 (92-100)	78 (66-87)
Bradyphrenia	0	0/0	6 (2-17)	100 (44-100)
Poor levodopa response <sup>a</sup>	87 (73-94)	78 (63-88)	98 (88-100)	79 (66-86)
No tremor	85 (72-93)	83 (70-91)	79 (65-88)	79 (65-88)

# L'imagerie anatomique

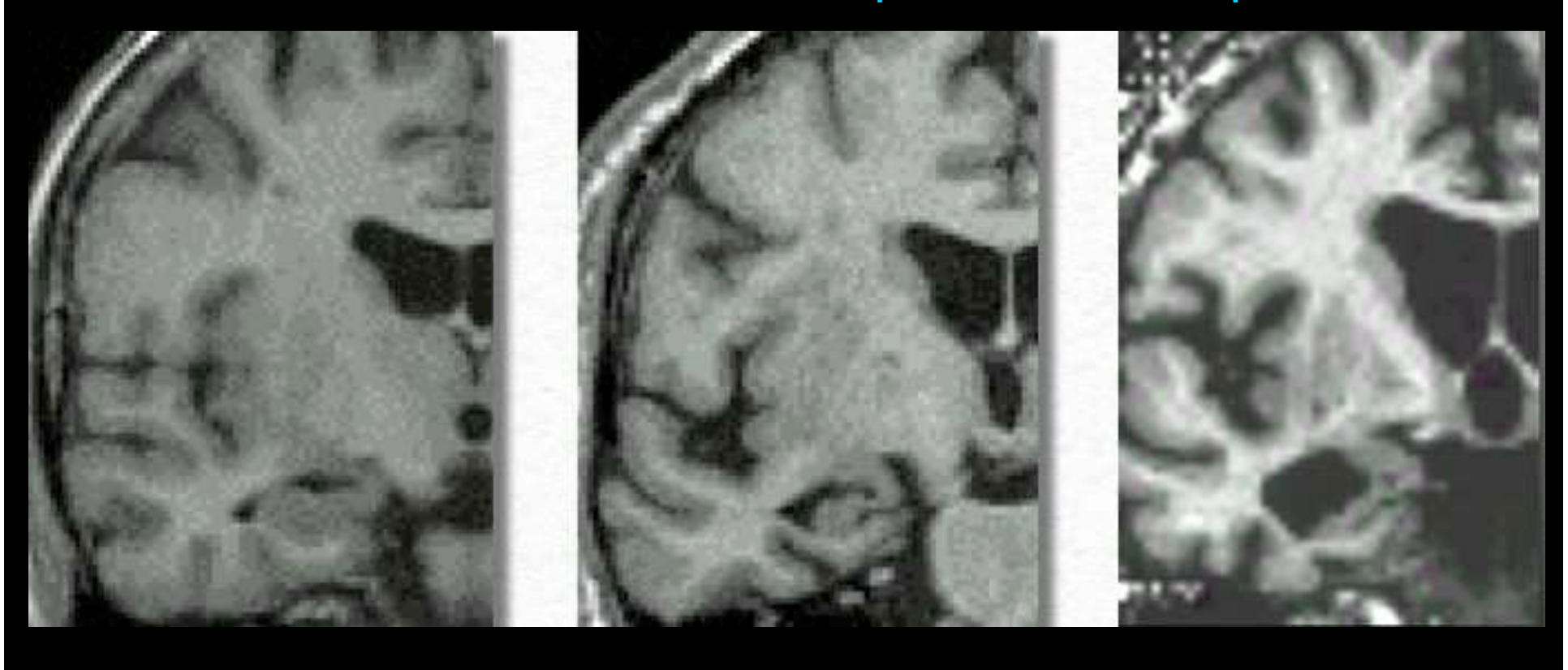


# **MAGERIE**



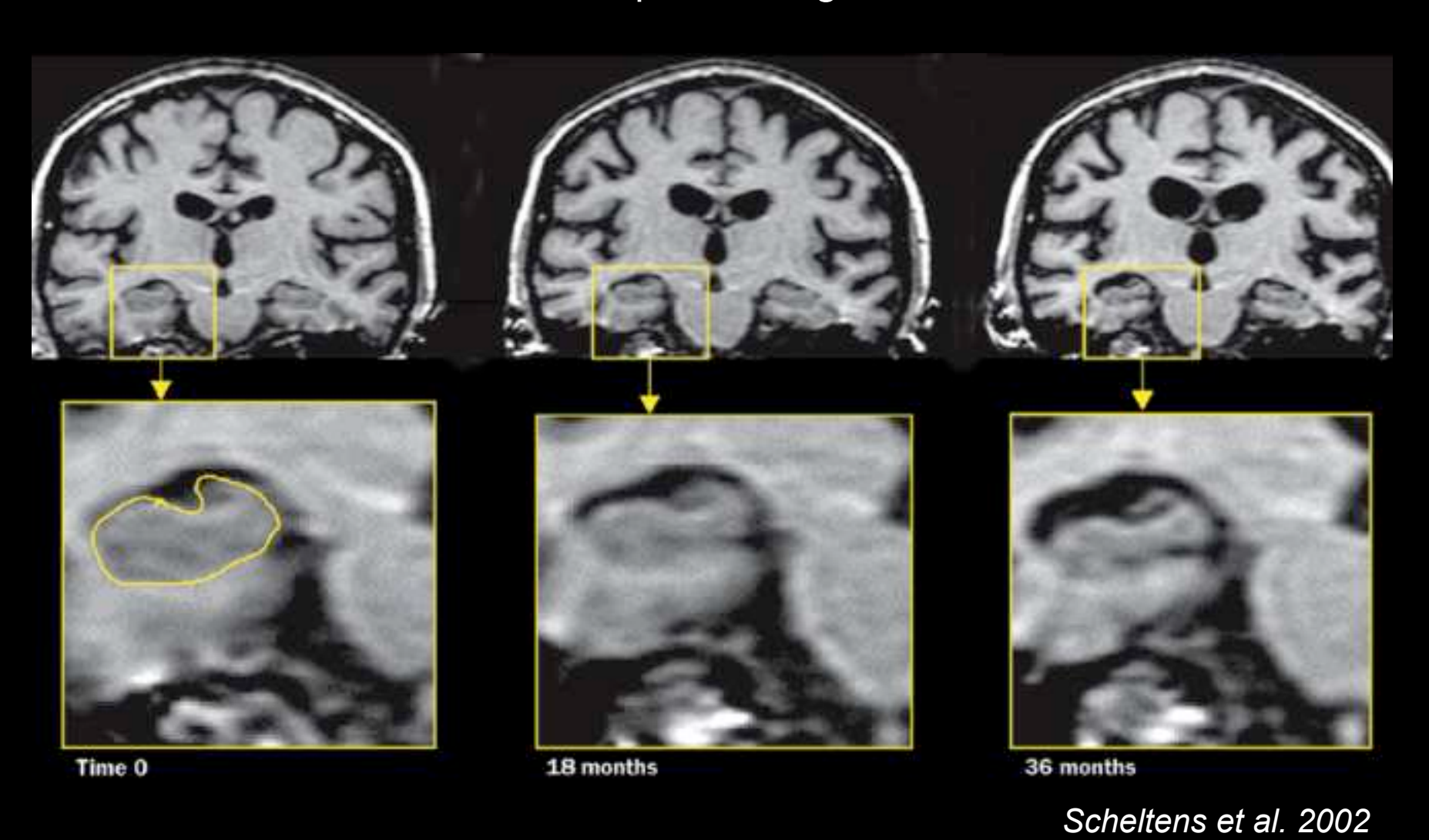
#### Imagerie anatomique

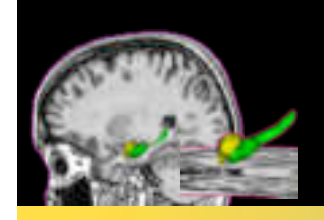
#### Maladie d'Alzheimer et atrophie mésio-temporale



#### Maladie d'Alzheimer et atrophie mésio-temporale

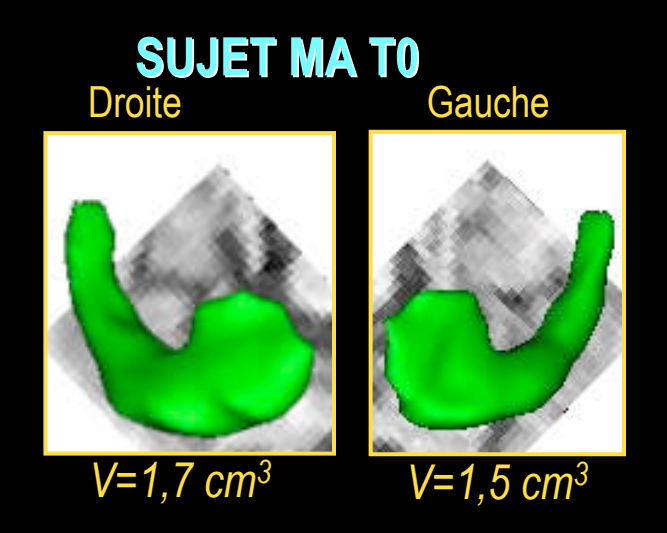
→ Mesures manuelles/automatiques de régions d'intérêt

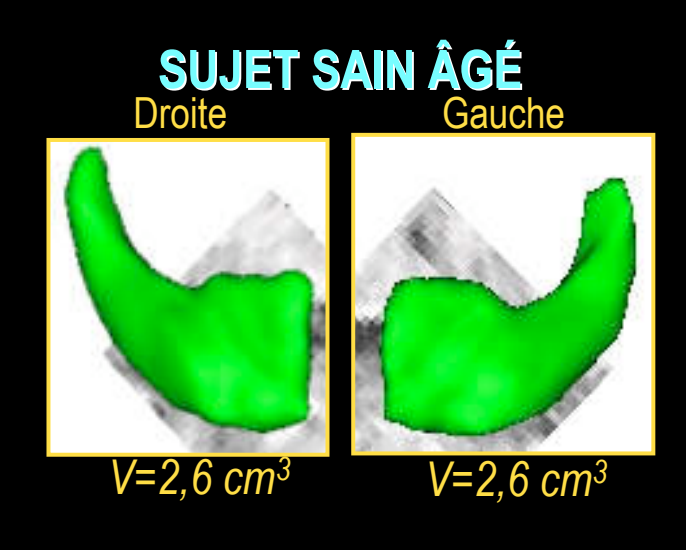


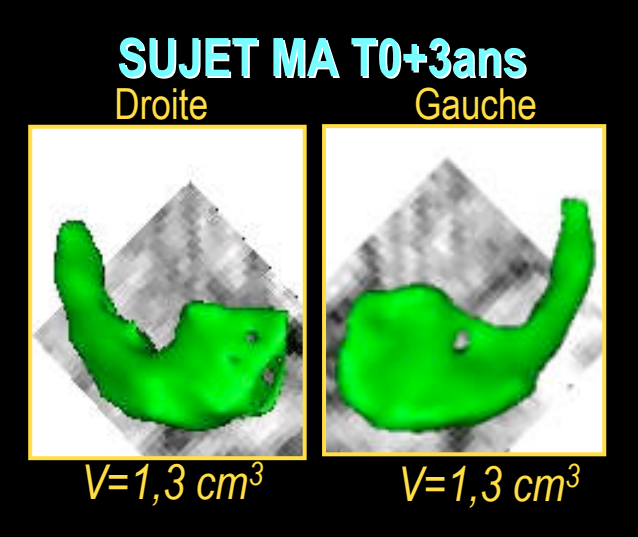


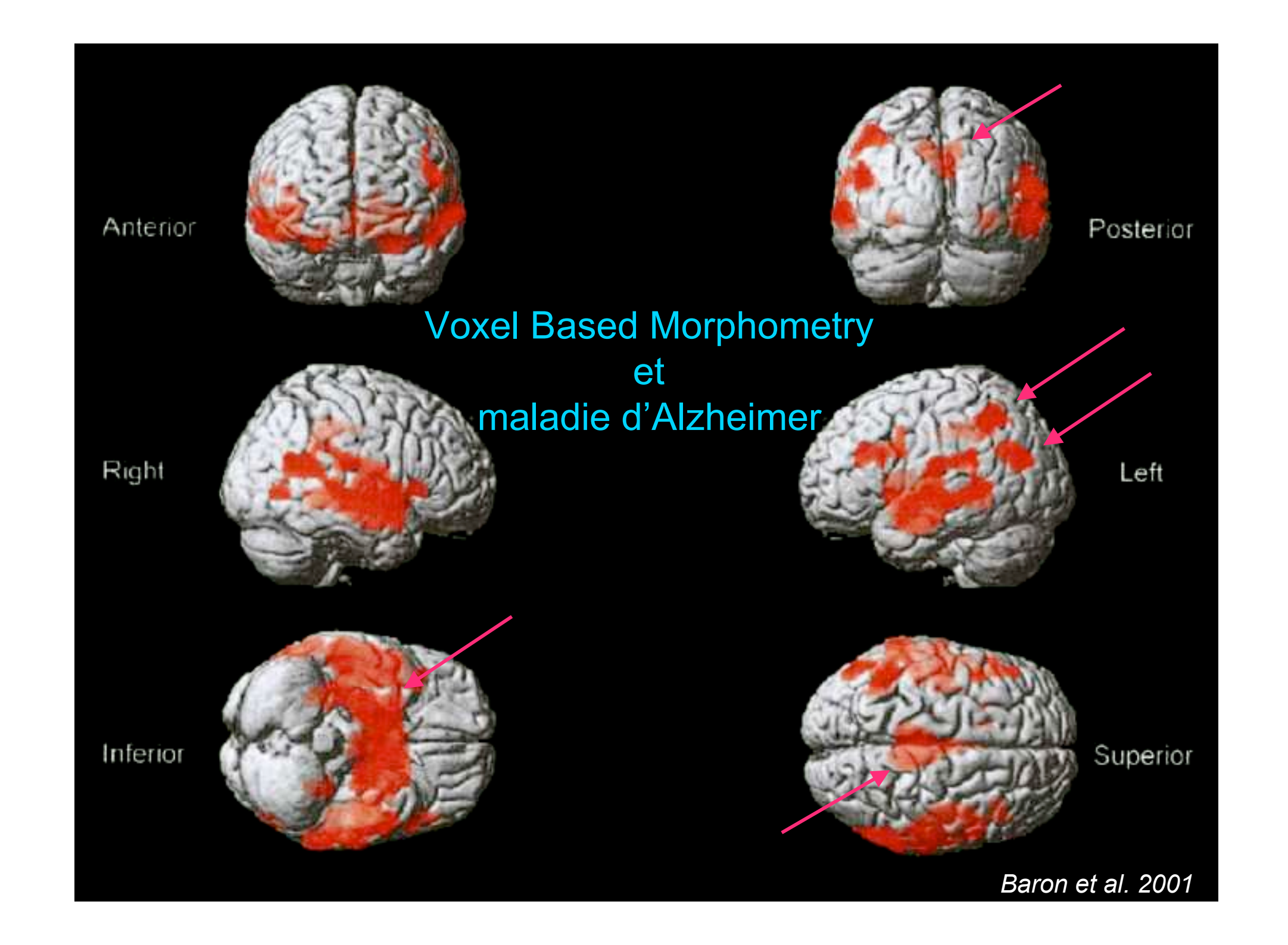
## Volumétrie : Hippocampe

# SUJET SAIN JEUNE Droite Gauche V=2,7 cm<sup>3</sup> V=2,7 cm<sup>3</sup>

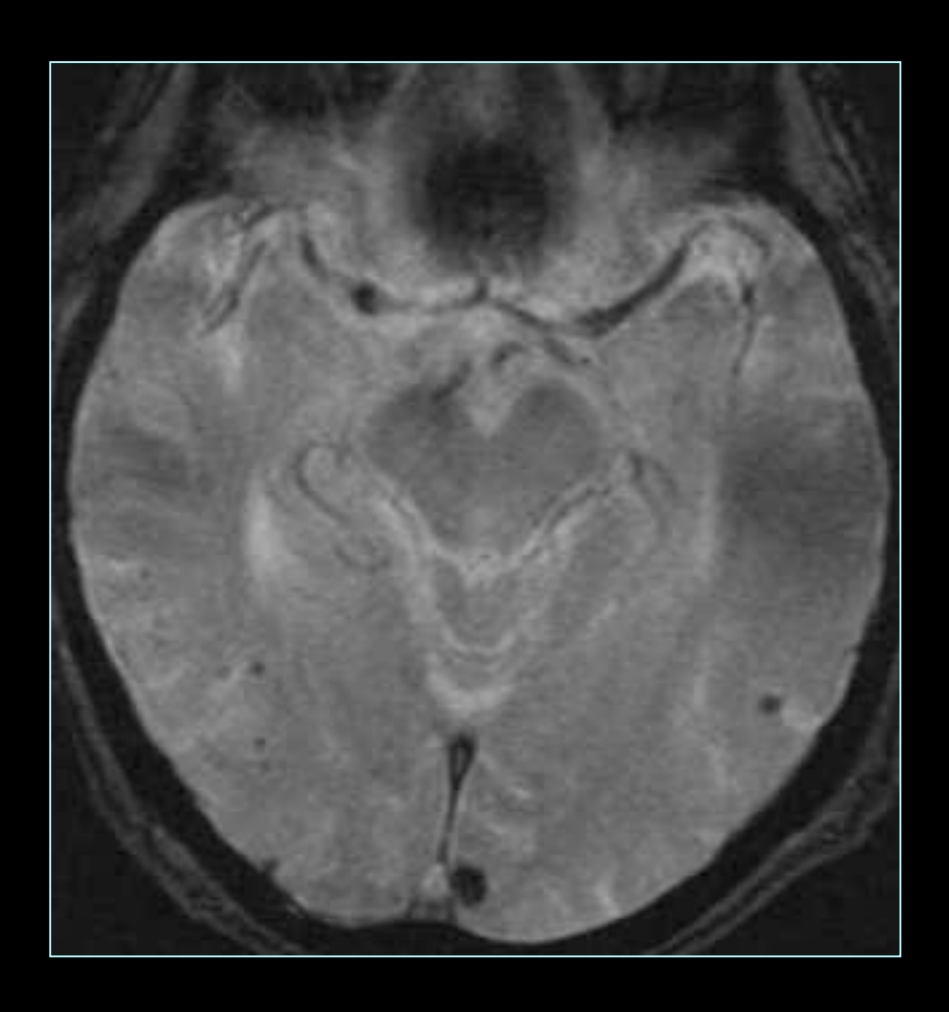


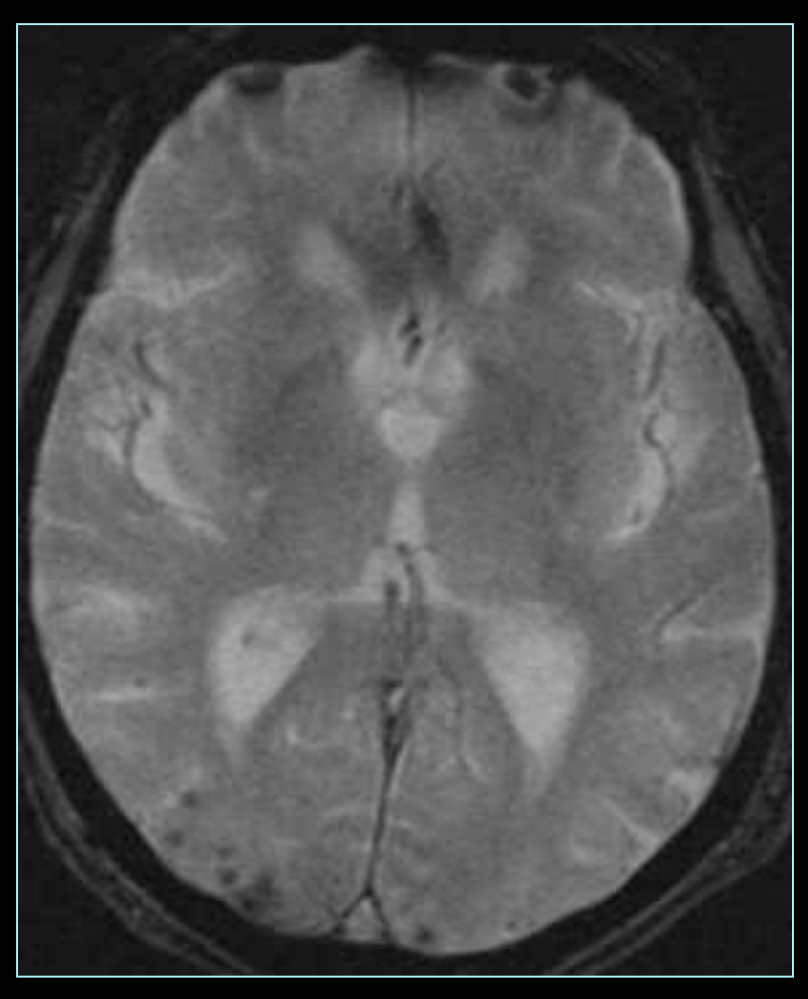


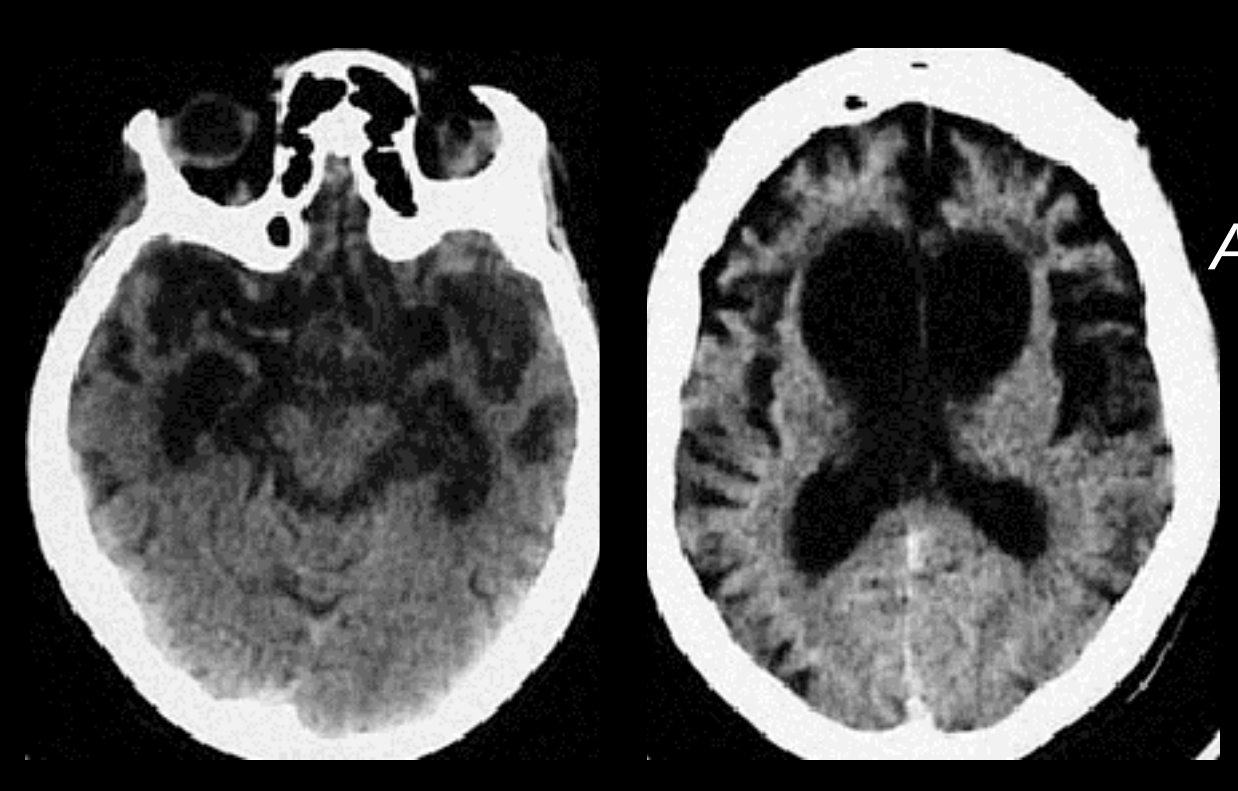




# IRM Echo de gradient (T2\*)





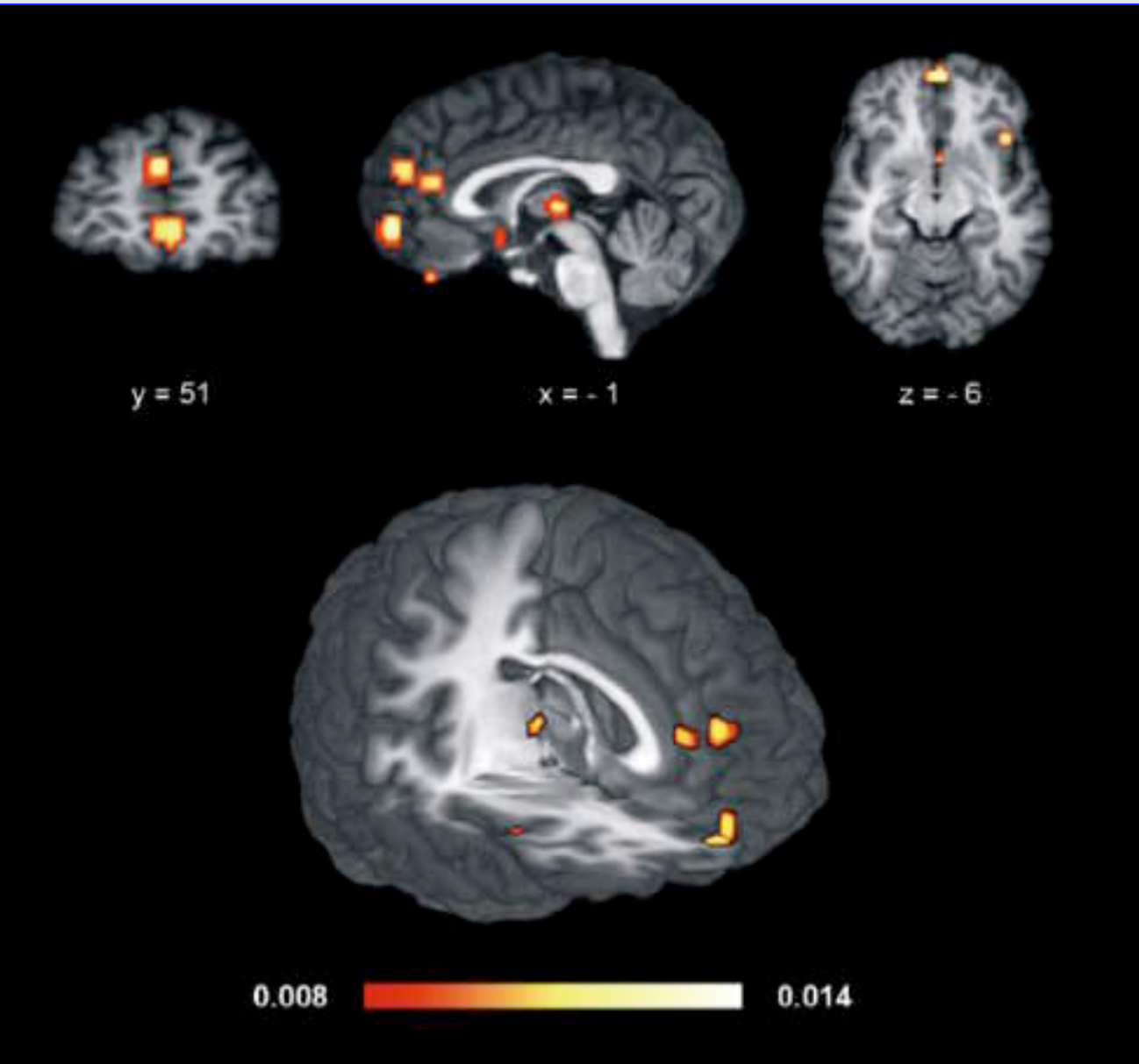


Au-delà de l'exclusion...

Dégénérescences lobaires fronto-temporales



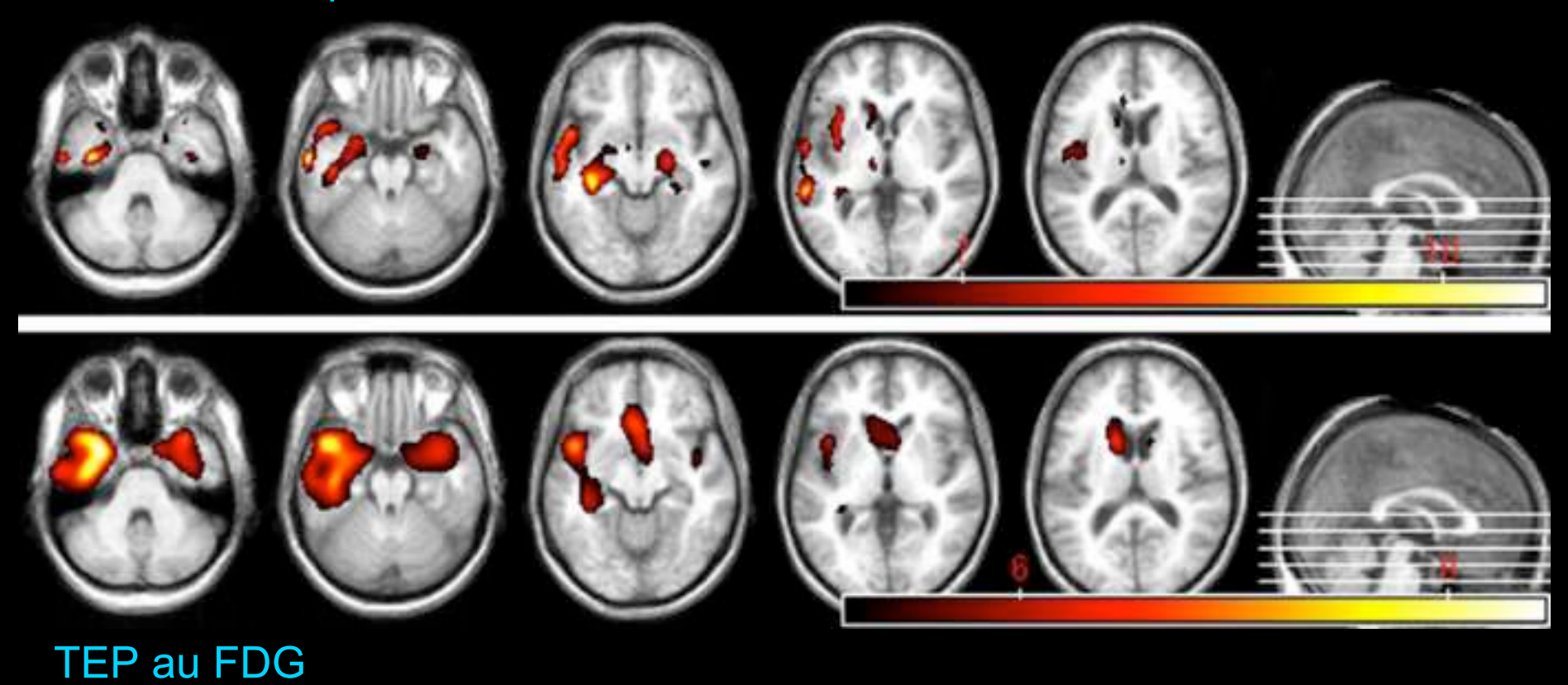
#### Anomalies structurales et métaboliques dans la DFT



Schroeter et al, , Neurobiol aging, 2008

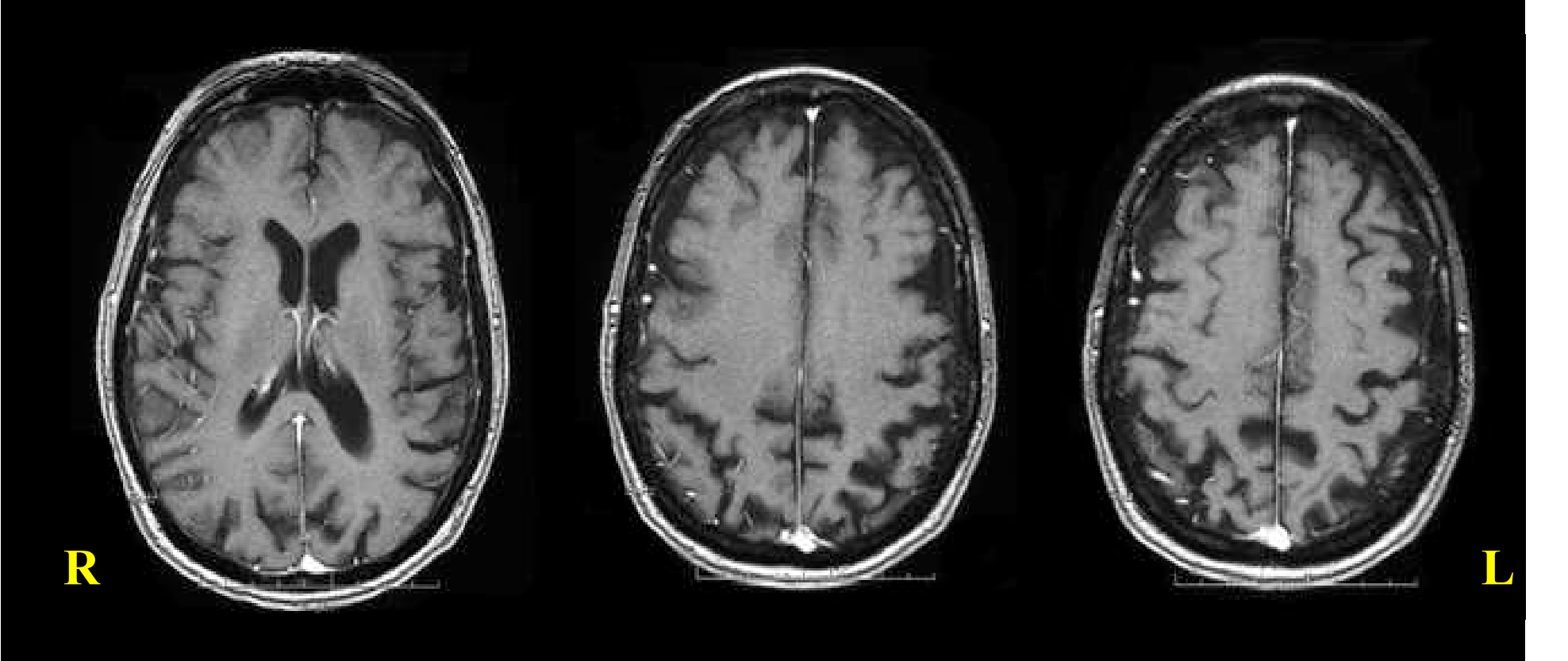
# Démence sémantique

#### IRM volumétrique



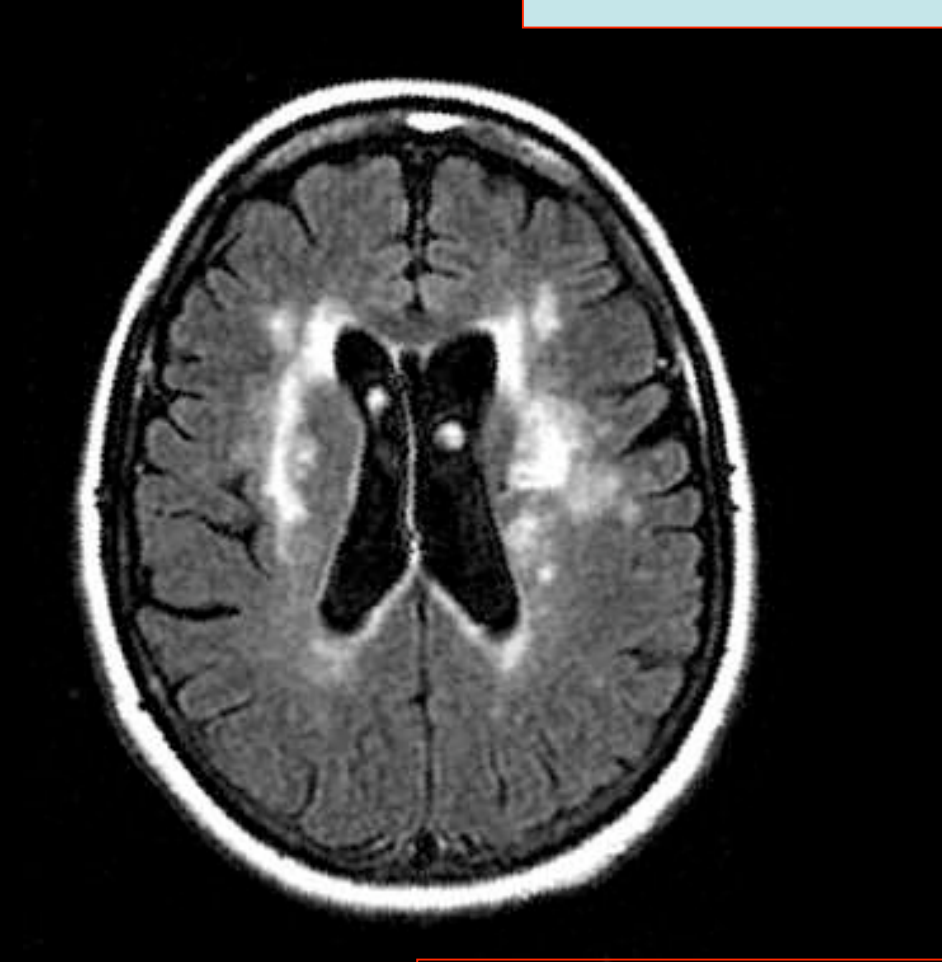
#### L'atrophie corticale postérieure

(Syndrome de Benson)



MRI, T1 + Gadolinium (Patient SA)

#### Démences vasculaires

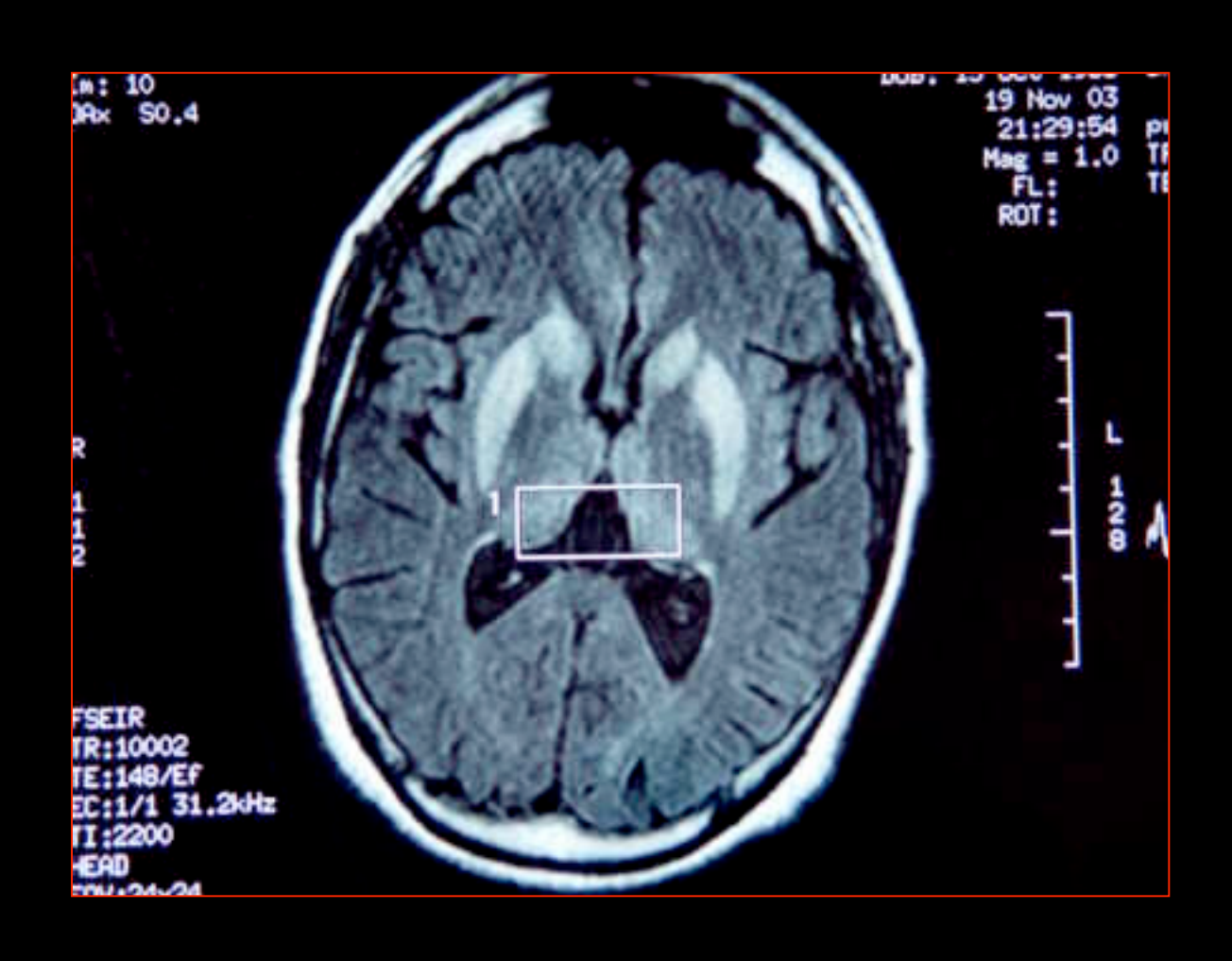




Si: - Anamnèse

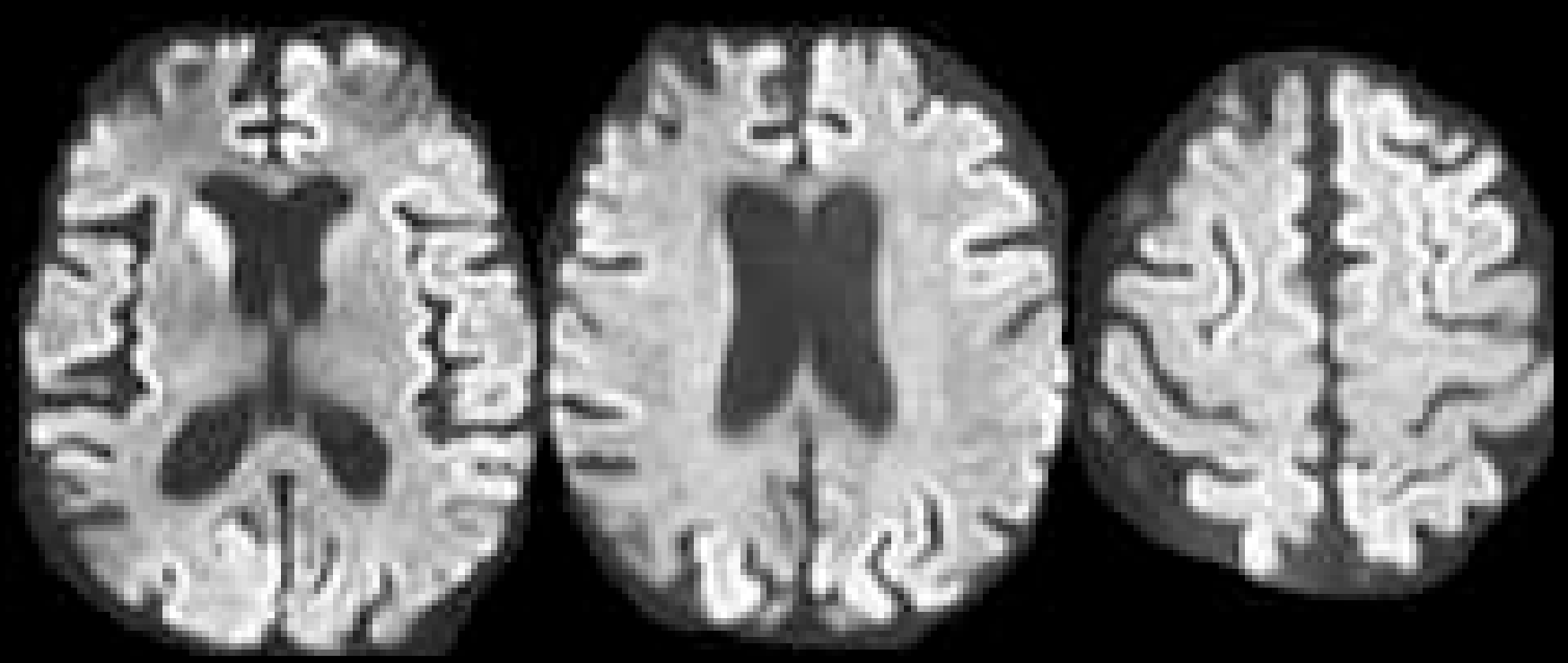
- Syndrome sous-cortico-frontal
- Relation clinico-radiologique

#### La maladie de Creutzfeldt-Jacob



#### Maladie de Creutzfeldt-Jacob

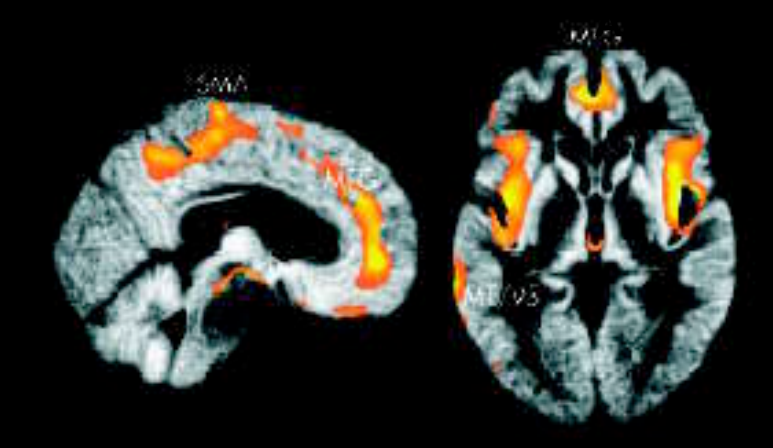
IRM encéphalique (FLAIR, Diffusion)



	<b>T2</b> *	FLAIR	Diffusion
Sensibilité	40%	50%	92%
Inter-exam.	68%	82%	100%

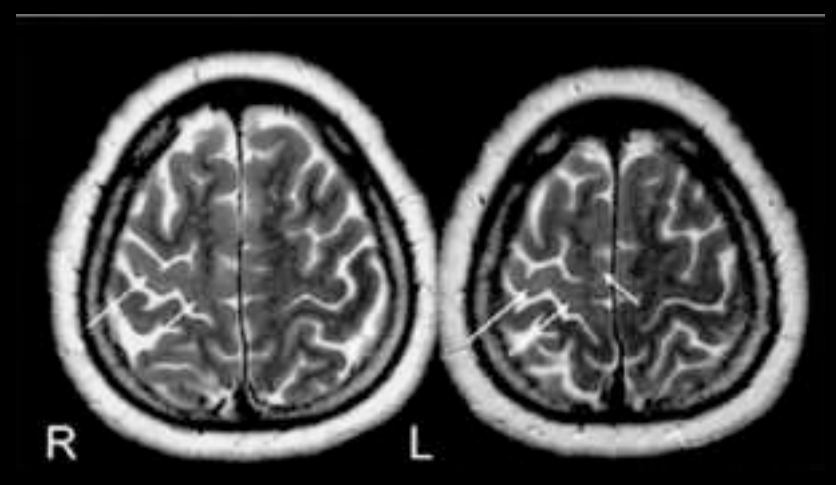
## Paralysie Supranucléaire Progressive





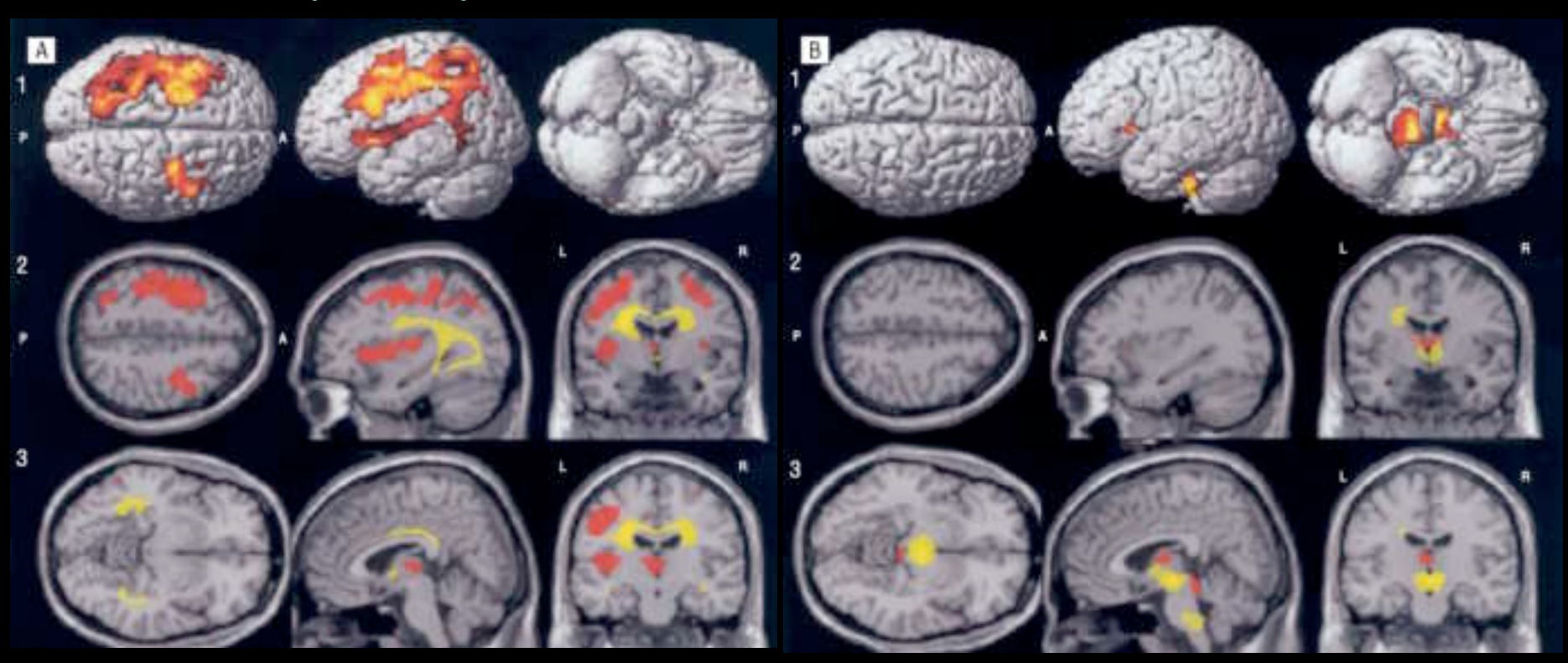
#### Dégénérescence cortico basale et IRM





# Volume cérébral « Syndromes DCB / PSP »

#### Voxel based morphometry



14 syndromes DCB

% 80 contrôles

15 syndromes PSP

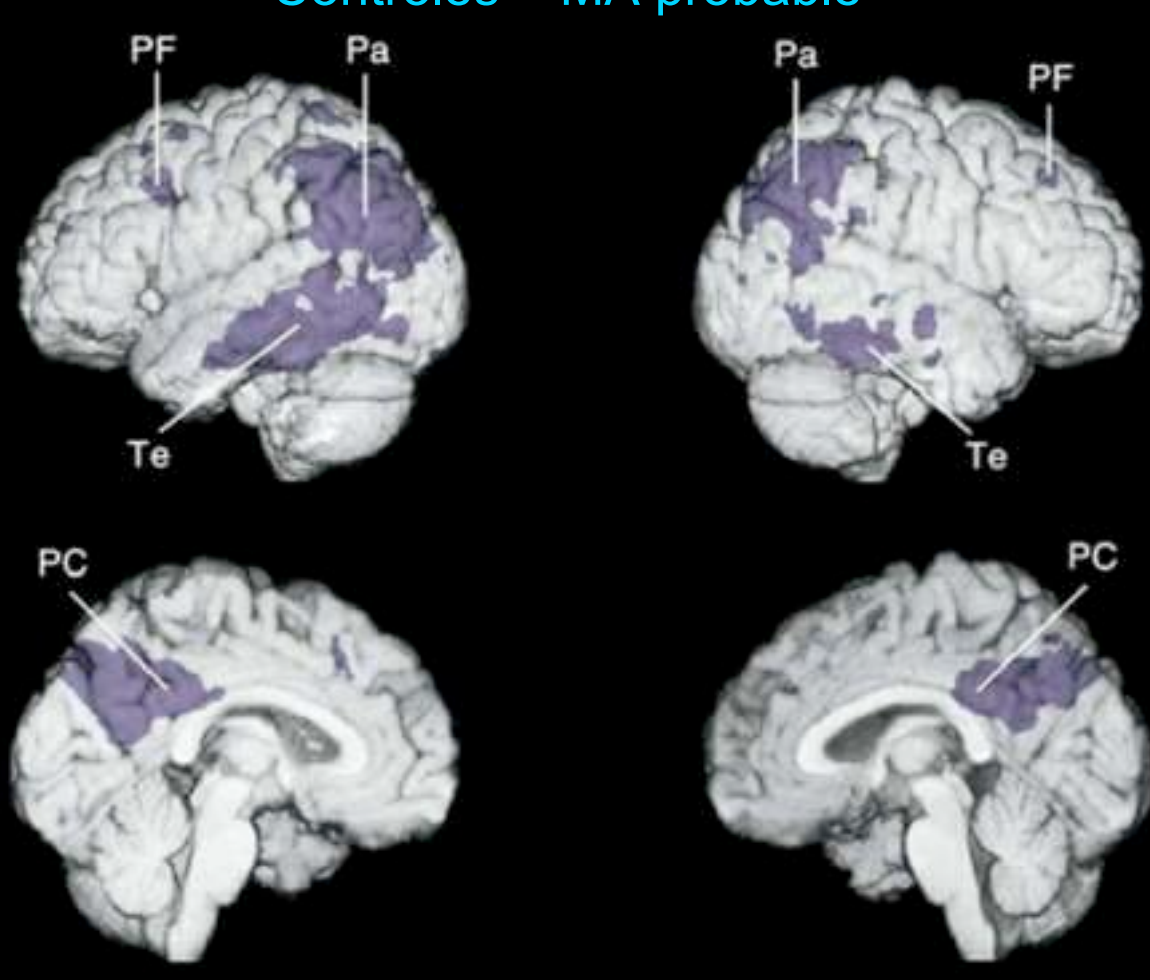
Boxer et al, 2006

# L'imagerie métabolique peut-elle aider le diagnostic précoce?

#### Imagerie métabolique

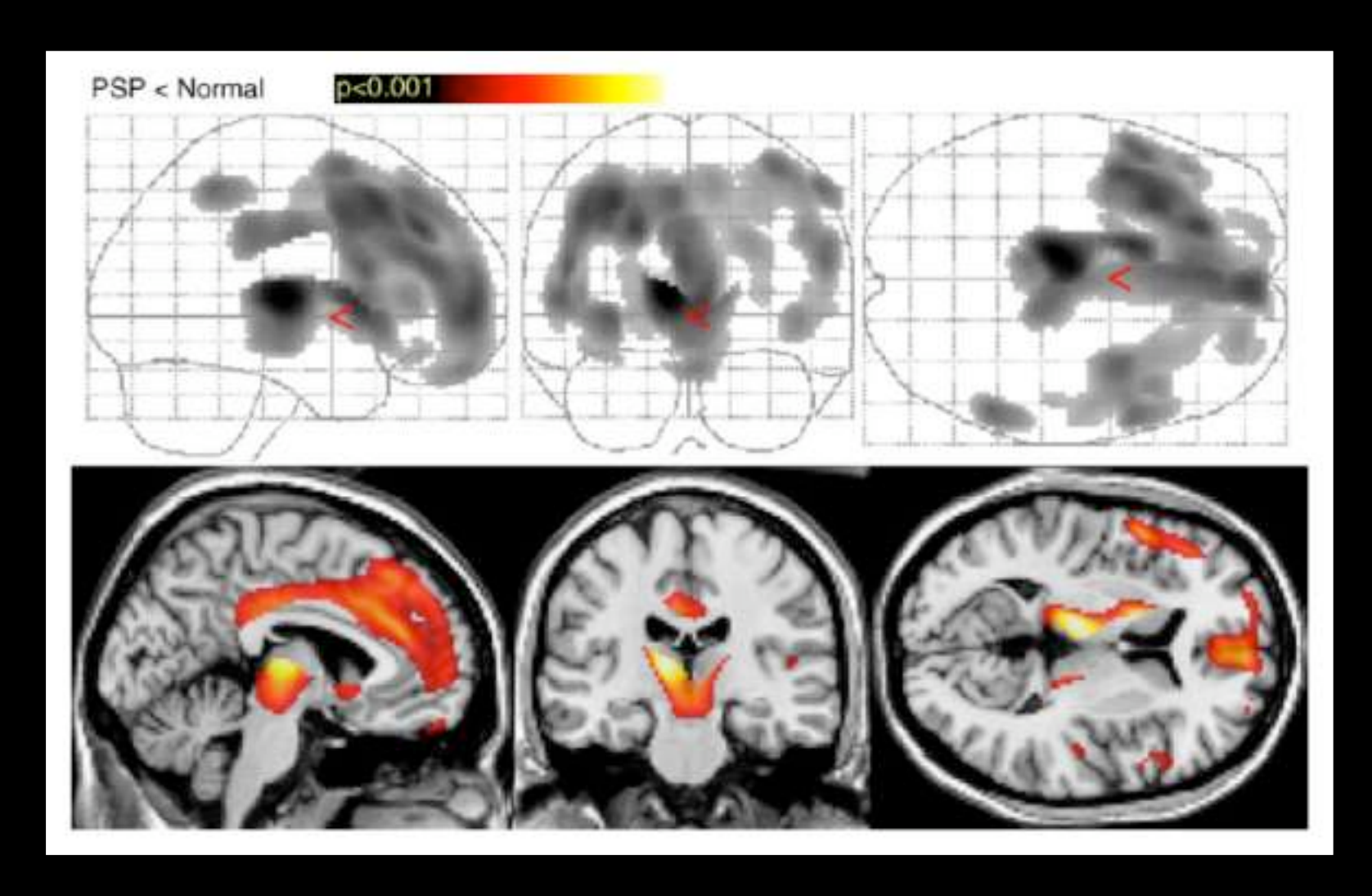
TEP au FD-glucose et MA débutante

#### Contrôles – MA probable



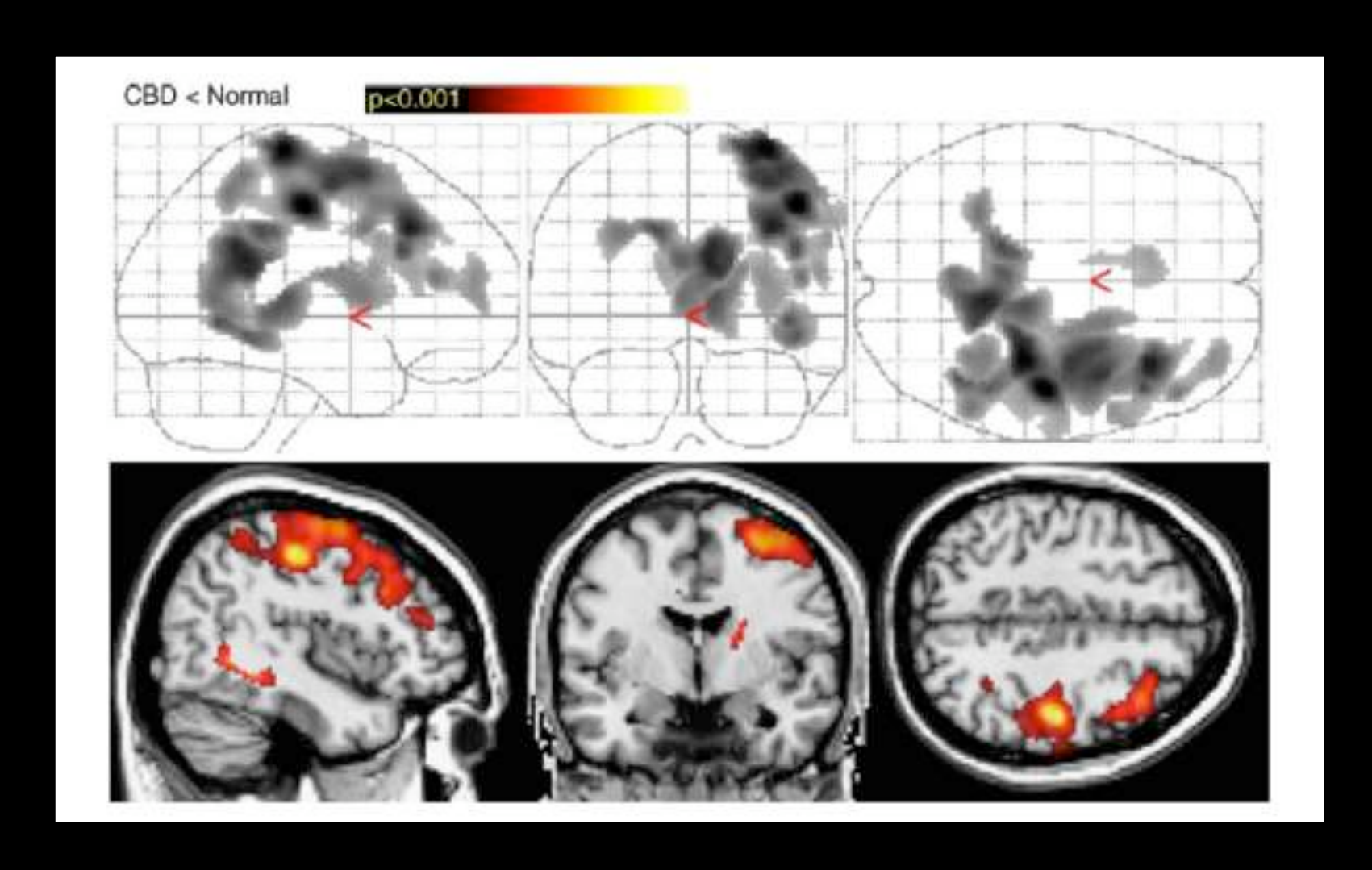
Reiman et al, NEJM, 1996

## **TEP FDG dans la PSP**



Hypométabolisme frontal, thalamique, mesencephalique

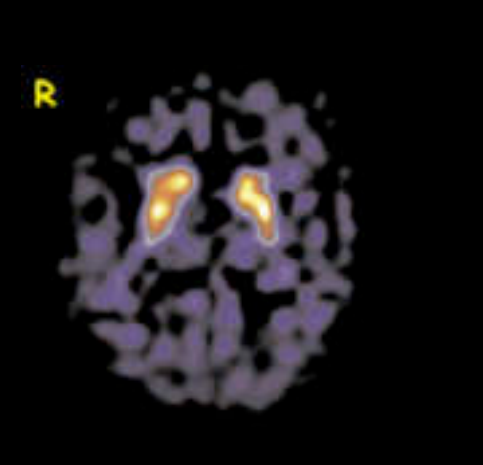
# PET FDG DCB

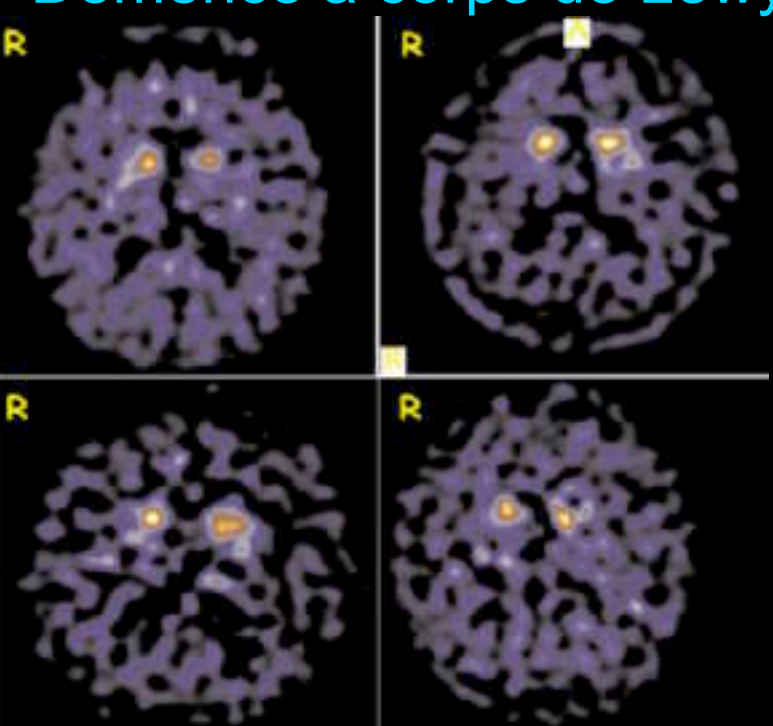


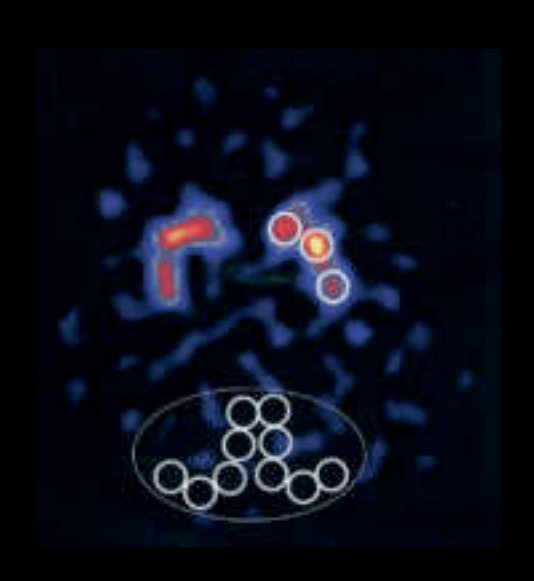
DCB vs Nx : Hypométabolisme asymétrique

#### DAT Scan: SPECT au ioflupane

#### Démence à corps de Lewy



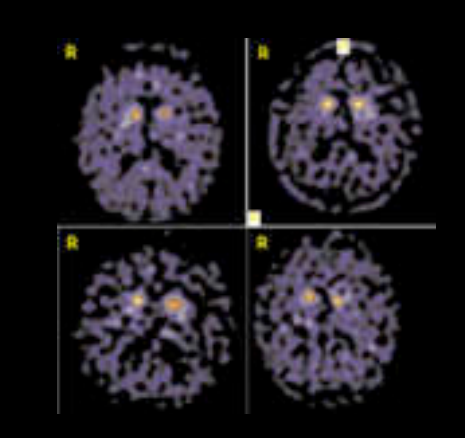




→ Critères diagnostiques de consensus

Costa et al. 2003 Walker et al., Neurology 2004 McKeith et al, 2005

#### DAT scan et diagnostic différentiel DCL/MA



20 patients avec démence DAT-scan + autopsie

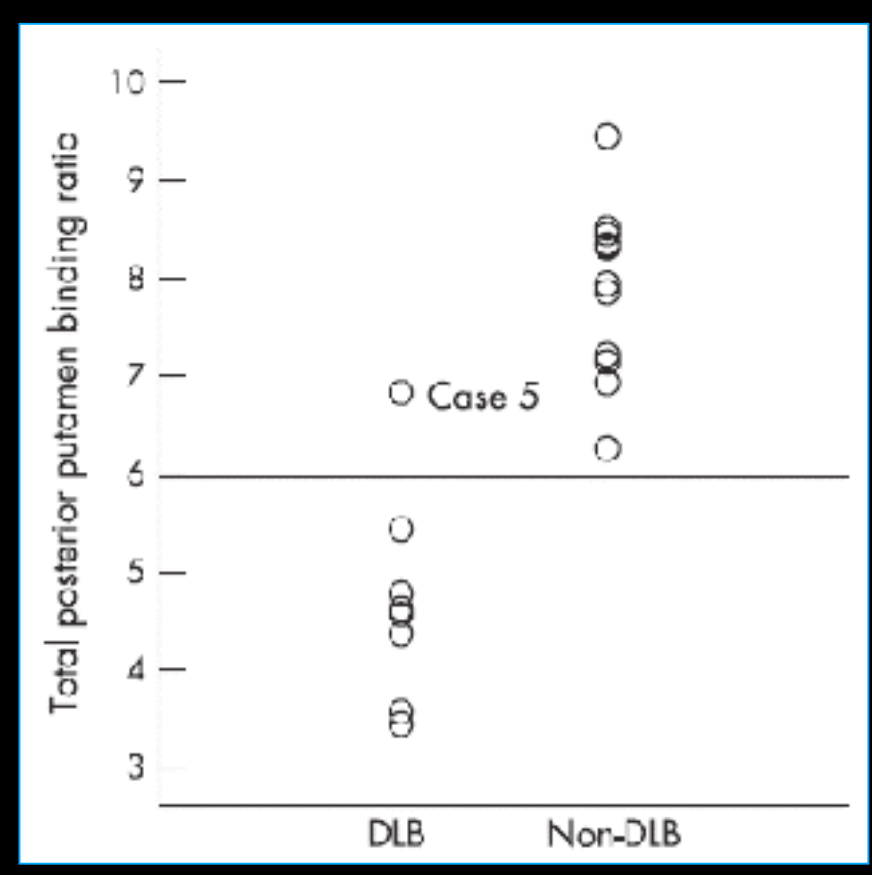
Anapath → 8 DCL 9 MA

Clinique → Sensibilité : 75%

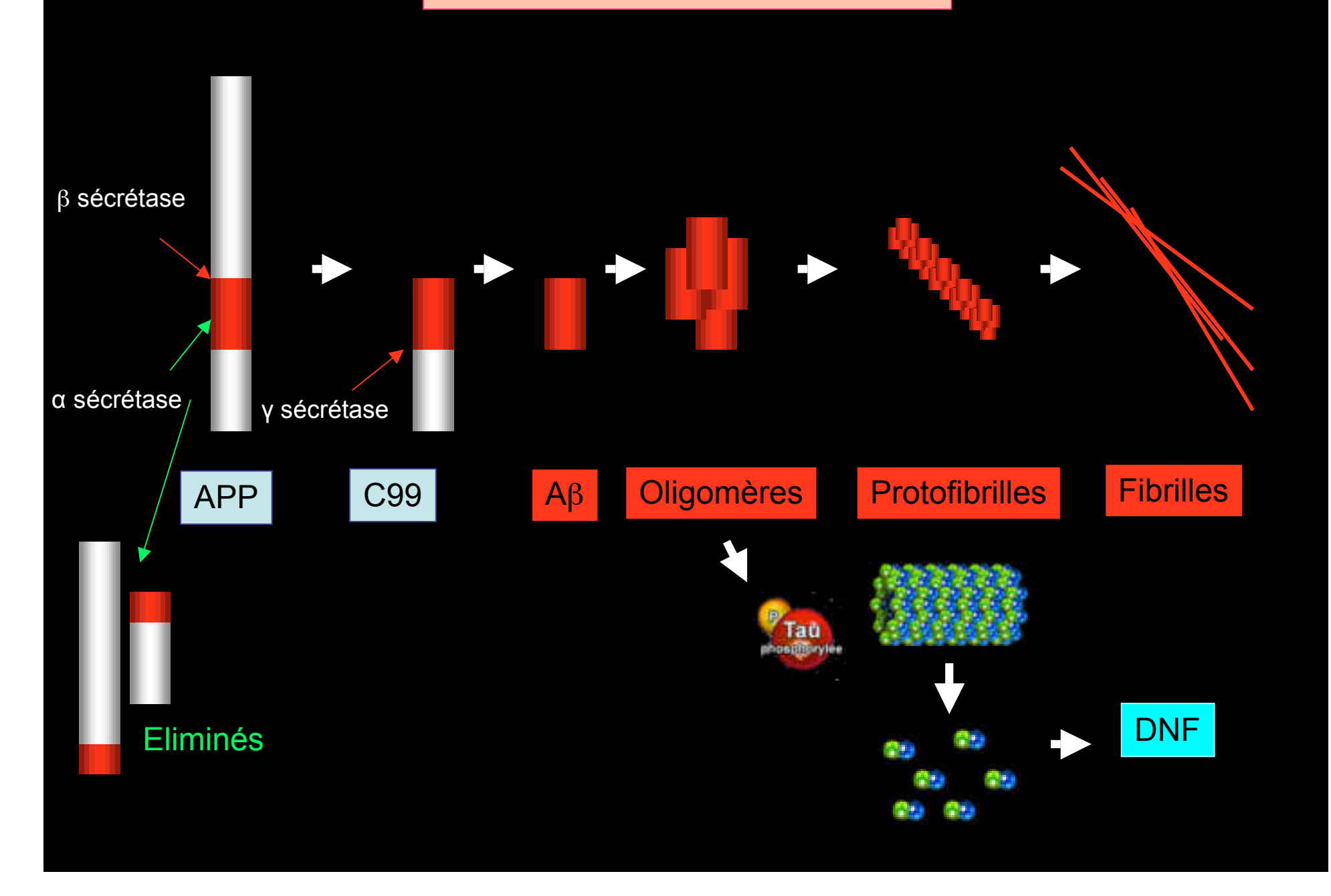
Spécificité: 42%

DAT-Scan → Sensibilité : 88%

Spécificité : 100%

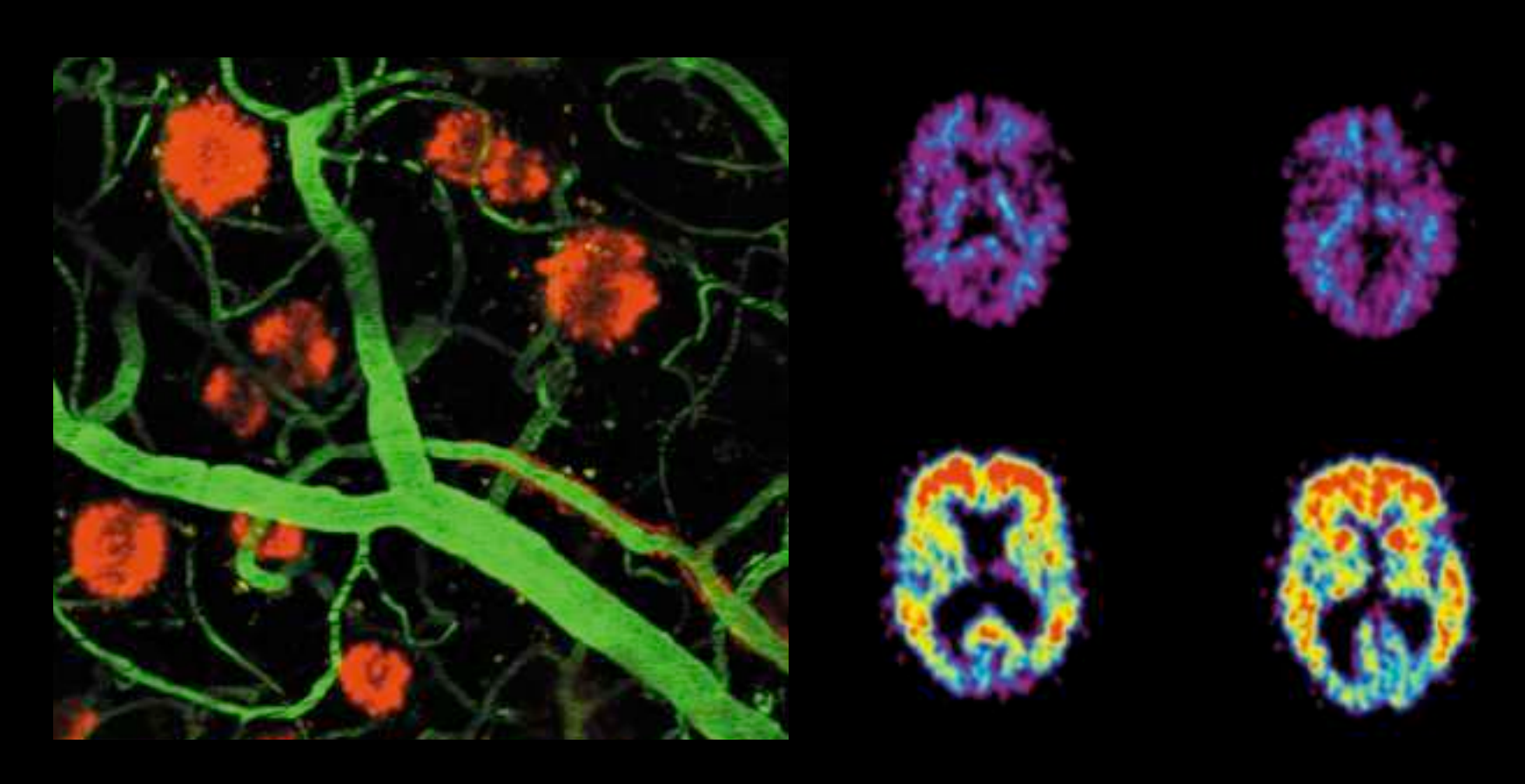


#### La cascade amyloïde



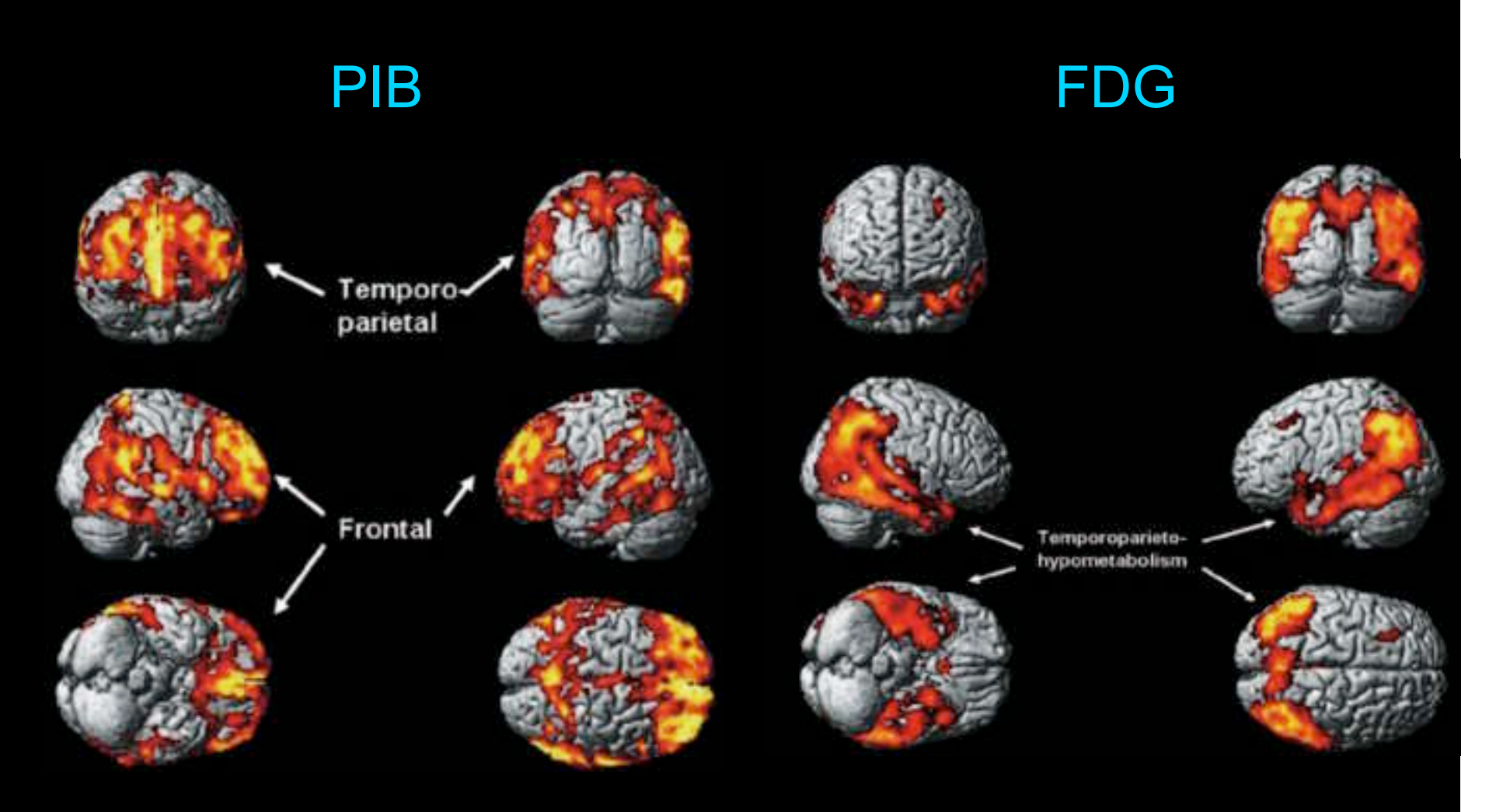
#### TEP et marqueur amyloïde

→ Fibrilles amyloïdes insolubles, bonnes corrélations neuropathologiques



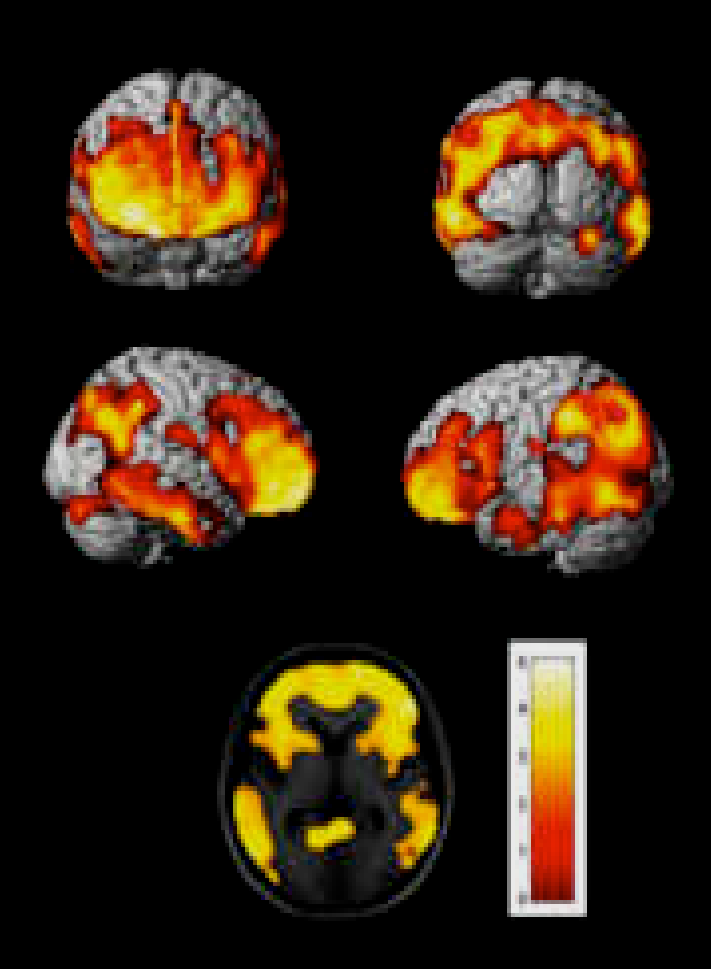
Klunk et al, Ann Neurol, 2004 Nordberg et al., Lancet Neurol 2004

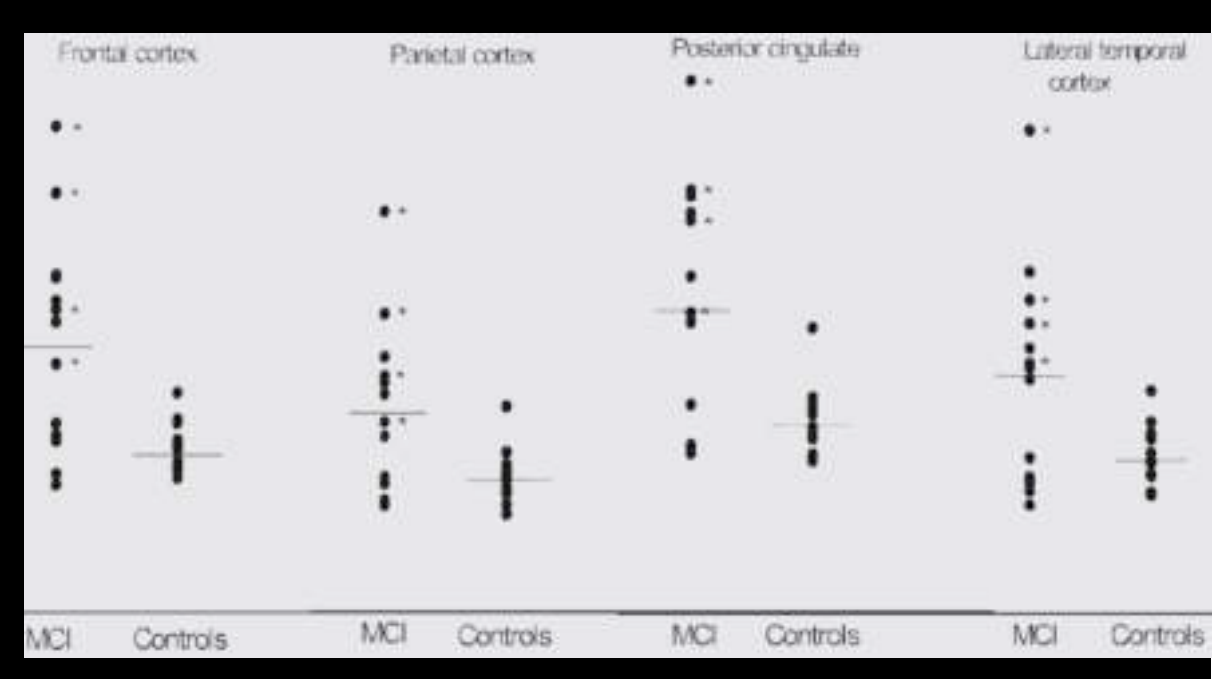
#### Dépôts amyloïdes et métabolisme du glucose



#### PIB et Trouble Cognitif Léger

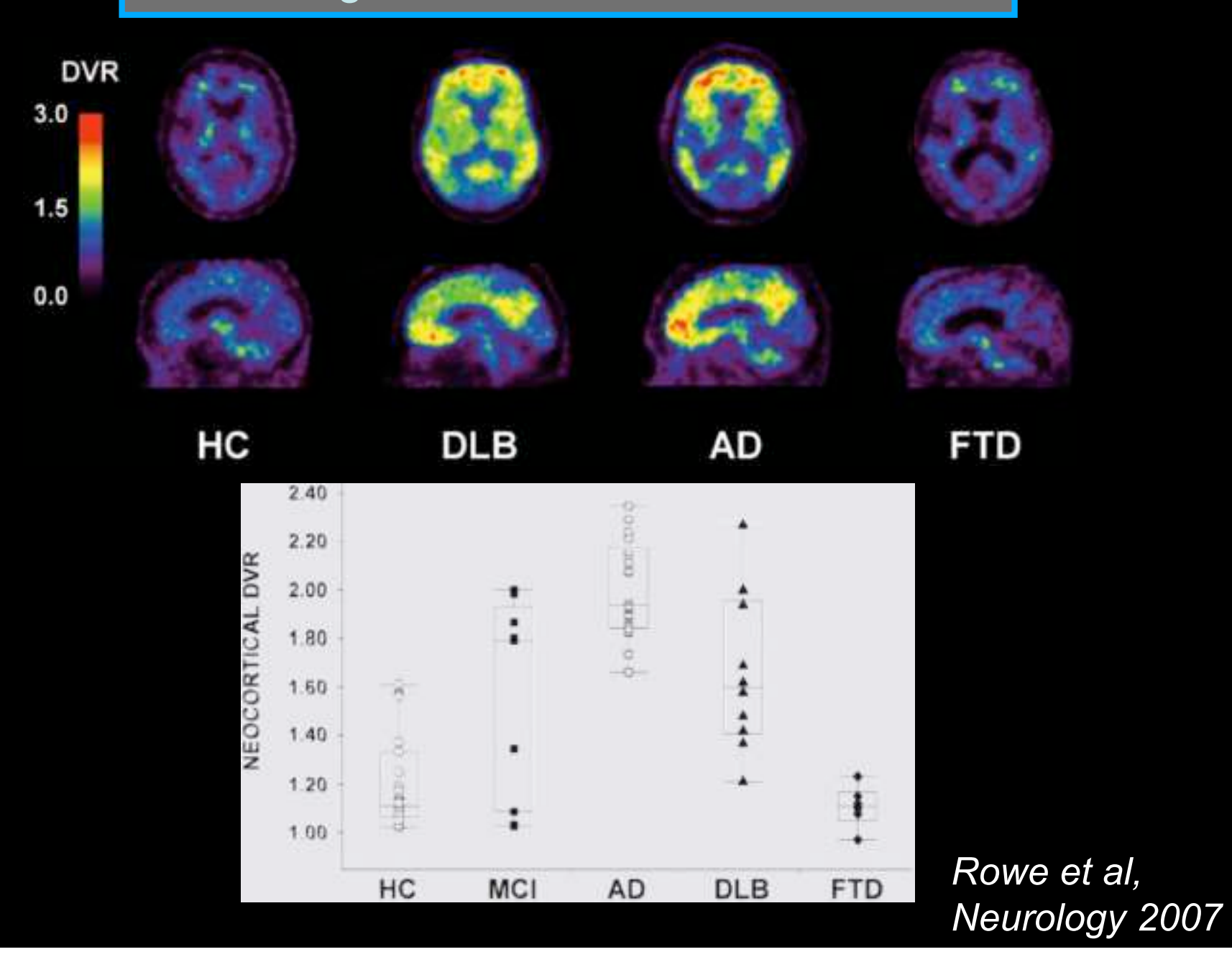
#### 40-60% des « MCI » évoluent vers une MA



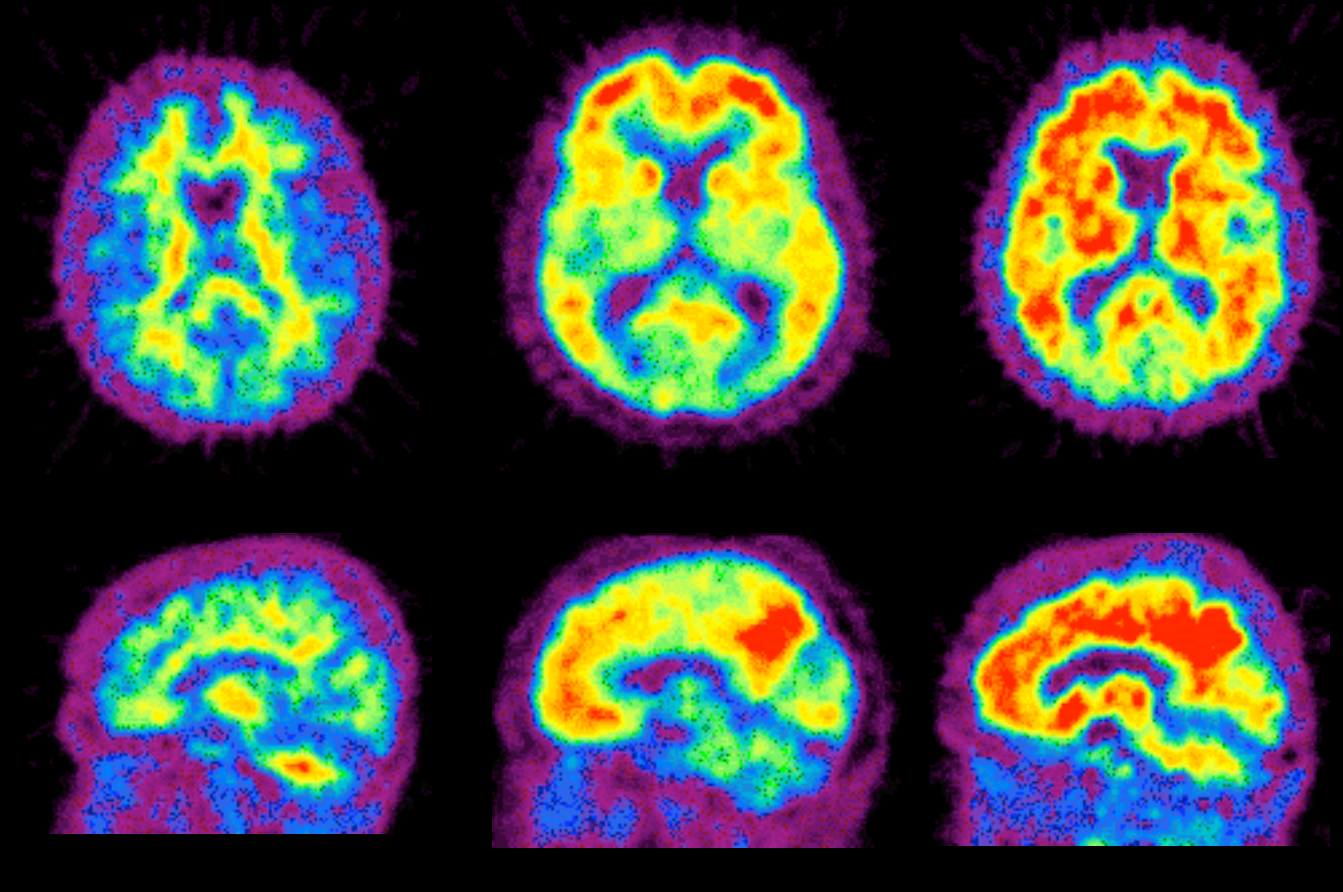


Blennow et al, Nat Med 2006 Kemppainen et al, Neurology 2007

#### PIB et diagnostic différentiel MA/DCL/DFT



#### LYON CERMEP



**Témoin**66 ans
MMSE= 30
CDR= 0

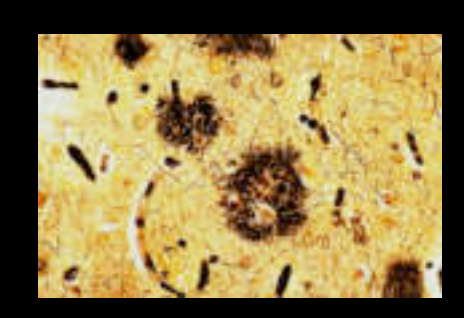
MA pré-démentielle 80 ans MMSE= 26 CDR= 0,5

MA démentielle 70 ans MMSE= 20 CDR= 1

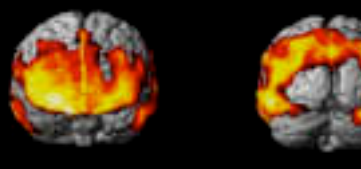
Formaglio et al, 2008

### Conclusion

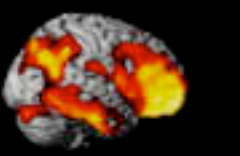
- Traitements anti-amyloïde
- → Optimiser le diagnostic précoce
- → Avant une perte neuronale trop importante

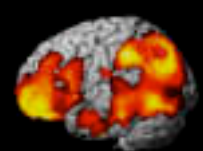


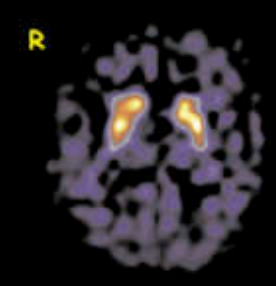
Imagerie métabolique +++



Combinaison de marqueurs







→ Vérifications anatomiques ++



Suivi thérapeutique